**Zeitschrift:** Schweizerische Zeitschrift für Vermessungswesen und Kulturtechnik =

Revue technique suisse des mensurations et améliorations foncières

**Herausgeber:** Schweizerischer Geometerverein = Association suisse des géomètres

**Band:** 29 (1931)

**Heft:** 11

Artikel: Bestimmung des Azimuts für die Grundlinie bei Vermessungen der

Stadt Machatsch-Kala nach der Näherungsmethode von Professor Th.

N. Krassovsky

**Autor:** Smirnoff, K.N.

**DOI:** https://doi.org/10.5169/seals-192708

#### Nutzungsbedingungen

Die ETH-Bibliothek ist die Anbieterin der digitalisierten Zeitschriften auf E-Periodica. Sie besitzt keine Urheberrechte an den Zeitschriften und ist nicht verantwortlich für deren Inhalte. Die Rechte liegen in der Regel bei den Herausgebern beziehungsweise den externen Rechteinhabern. Das Veröffentlichen von Bildern in Print- und Online-Publikationen sowie auf Social Media-Kanälen oder Webseiten ist nur mit vorheriger Genehmigung der Rechteinhaber erlaubt. Mehr erfahren

#### **Conditions d'utilisation**

L'ETH Library est le fournisseur des revues numérisées. Elle ne détient aucun droit d'auteur sur les revues et n'est pas responsable de leur contenu. En règle générale, les droits sont détenus par les éditeurs ou les détenteurs de droits externes. La reproduction d'images dans des publications imprimées ou en ligne ainsi que sur des canaux de médias sociaux ou des sites web n'est autorisée qu'avec l'accord préalable des détenteurs des droits. En savoir plus

#### Terms of use

The ETH Library is the provider of the digitised journals. It does not own any copyrights to the journals and is not responsible for their content. The rights usually lie with the publishers or the external rights holders. Publishing images in print and online publications, as well as on social media channels or websites, is only permitted with the prior consent of the rights holders. Find out more

**Download PDF:** 02.10.2025

ETH-Bibliothek Zürich, E-Periodica, https://www.e-periodica.ch

## Zeitschrift für Vermessungswesen und Kulturtechnik

ORGAN DES SCHWEIZ. GEOMETERVEREINS

## REVUE TECHNIQUE SUISSE DES MENSURATIONS ET AMÉLIORATIONS FONCIÈRES

ORGANE DE LA SOCIÉTÉ SUISSE DES GÉOMÈTRES

Redaktion: Dr. h. c. F. BAESCHLIN, Professor, Zollikon (Zürich)
Ständiger Mitarbeiter für Kulturtechnik: Dr. Ing. H. FLUCK, Dipl. Kulturingenieur, Neuchätel
Poudrières, 19. — Redaktionsschluß: Am 1. jeden Monats.

© Expedition, Inseraten- und Abonnements-Annahme: © BUCHDRUCKEREI WINTERTHUR VORM. G. BINKERT, WINTERTHUR

Erscheinend 2. Dienstag jeden Monats

Inserate:
50 Cts. per Ispaltige Nonp.-Zeile

No. 11

des XXIX. Jahrganges der "Schweiz. Geometerzeitung".

10. November 1931

Abonnemente:

Schweiz . . . Fr. 12.— jährlich Ausland . . " 15.— "

Unentgeltlich für Mitglieder des Schweiz. Geometervereins

# Bestimmung des Azimuts für die Grundlinie bei Vermessungen der Stadt Machatsch-Kala nach der Näherungsmethode von Professor Th. N. Krassovsky.

Ing. K. N. Smirnoff, Moskau, Chef der Instrumentenabteilung des Instituts für Geodäsie und Kartographie.

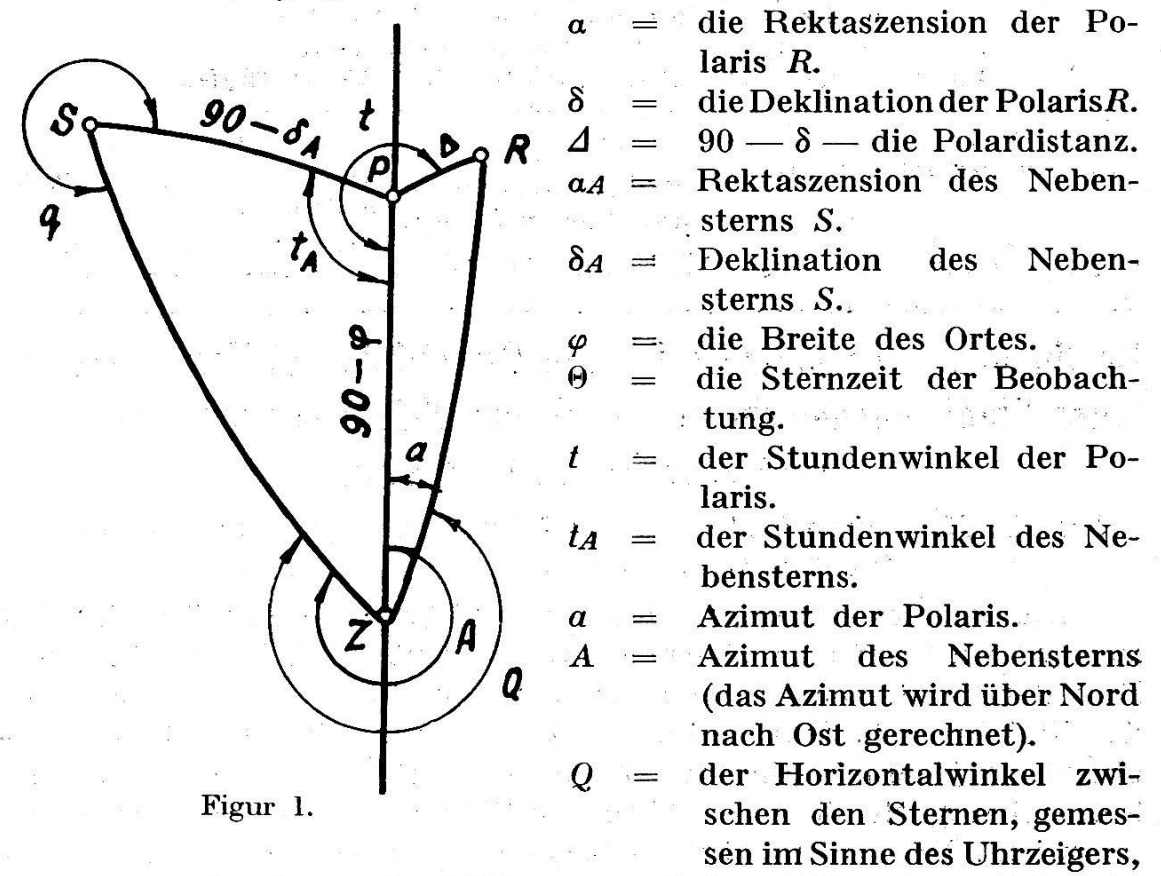
Die Azimutbestimmung nach dem Verfahren von Prof. Th. N. Krassovsky\* wird auf eine Messung des Horizontalwinkels zwischen dem Polarstern und einem Nebenstern zurückgeführt. Der Grundgedanke des Verfahrens besteht darin, daß für einen gegebenen Ort der Erdoberfläche jedem bestimmten Zeitmoment eine bestimmte Lage der Sterne bezüglich eines beliebigen Vertikalkreises der Himmelssphäre entspricht. Demnach gehört an beliebigem Bodenpunkt zu einem gewissen Wert des Horizontalwinkels zwischen der Richtung auf den Polarstern und der auf einen andern Stern auch ein ganz bestimmter Moment der Sternzeit, und damit ein bestimmtes Azimut des Polarsterns. Der Polarstern ist aus dem Grunde gewählt, weil sein Azimut sogar bei grob gegebener Breitenlage des Ortes und bei grob ermitteltem Horizontalwinkel zwischen den Sternen mit genügender Genauigkeit erhalten wird.

Der Vorteil der Methode besteht hauptsächlich darin, daß die Kenntnis des Uhrstandes völlig entbehrlich wird und daß man, insbesondere unter Benützung eines Nomogramms, sehr rasch zu einem Näherungswert mit der Genauigkeit einer Bogenminute gelangt. Bei rechnerischer Reduktion wird man eine Genauigkeit von mehreren Bogensekunden erreichen.

<sup>\*</sup> Professor Th. N. Krassovsky: "Bestimmung des Azimuts eines Bodenobjektes durch Messung des Horizontalwinkels zwischen der Polaris und einem Nebenstern". Moskau, 1926.

Bei bekannter Breitenlage des Ortes könnten wir also bei gleichzeitigem Anzielen des Polarsternes  $\hat{R}$  und des Nebensternes  $\hat{S}$  durch entsprechende Horizontalkreisablesung des Theodoliten das Azimut des Polarsterns aus dem gemessenen Winkel erhalten. Da aber ein gleichzeitiges Anvisieren zweier Sterne unmöglich ist, so muß eine Reduktion der Horizontalkreisablesung des Nebensternes auf den Moment der Polarisbeobachtung ausgeführt werden, oder man hat die Beobachtungen entsprechend anzuordnen.

Es seien (Fig. 1):



ausgehend von der Richtung nach dem Polarstern.

P = der Weltpol.

q = Parallaktischer Winkel an dem Nebenstern S, ausgehend von der Zenitrichtung Z im Sinne des Uhrzeigers bis zur Richtung auf den Weltpol.

Der Nebenstern hat eine Schnelligkeit in der Azimutänderung von nicht unter 5—9' in der Zeitminute. Es ist als Regel angenommen, den Hilfsstern bei einer Zenitdistanz von nicht unter 30° zu beobachten.

Zur Azimutbestimmung haben wir die Gleichungen

$$A = a + Q \tag{1}$$

$$\frac{\cos \varphi}{\cos \delta A} = k; \sin q = k \cdot \sin A \tag{2}$$

$$\frac{\sin \frac{1}{2} (\delta_A + \varphi)}{\cos \frac{1}{2} (\delta_A - \varphi)} = k_1; \operatorname{ctg} \frac{t_A}{2} = -K_1 \cdot \operatorname{tg} \frac{A + q}{2}$$
(3)

$$\theta = aA + tA = a + time constant (4)$$

$$\operatorname{tg} a = -\frac{1}{\sin \left(90 - \varphi - \Delta' \cos t\right)} - -\frac{1}{\sin \left(90 - \varphi - \Delta' \cos t\right)}$$
(5)

Diese Gleichungen sind nach dem Verfahren der sukzessiven Näherung aufzulösen. Wenn wir das Azimut des Polarsterns mit einem Maximalfehler von ungefähr 0'.3 erhalten wollen, so genügen dafür zwei Näherungen. In der ersten Näherung haben wir im Azimut  $a=1^{\circ}$ für  $\varphi = 55^{\circ}$  einen Maximalfehler von  $\pm 1^{\circ}$ ; mit demselben Fehler erhalten wir aus Gleichung (1) den Wert A; aus der Gleichung (3) ermitteln wir den Wert des Stundenwinkels ta; hierauf erhalten wir aus der Gleichung (4)  $\theta$  und t mit einem Maximalfehler von 60:9=6,7 Zeitminuten. Da die größte Bewegung des Polarsterns im Azimut 0,6 Bogenminuten in der Zeitminute beträgt, so erhalten wir offenbar aus der ersten Näherung von (5) das Azimut des Polarsterns mit einem Maximalfehler von 4'. Wenn wir uns bei der zweiten Näherung des zuletzt ermittelten Azimuts des Polarsterns bedienen, so erhalten wir das A mit einem Fehler, der nun kleiner als 4' sein wird. ta, 0 und t werden jetzt nur mit einem Fehler von etwa einer halben Zeitminute behaftet sein, das Azimut des Polarsterns aber wird nun einen Fehler unter 0'.3 haben. Die Breitenbestimmung des Ortes kann grob bis 5' erfolgen.

Beobachtungsprogramm.

Es ist am besten, die Beobachtungen laut folgendem Programm auszuführen:

#### Halbsatz bei Kreis rechts:

- 1. Beobachtung des Bodenobjektes mit Ablesung des Horizontalkreises.
- 2. Beøbachtung des Polarsterns. Ablesung des Horizontalkreises und der Taschenuhr.

- 3. Beobachtung des Nebensterns mit denselben Ablesungen.
- 4. Zweite Beobachtung des Polarsterns.
- 5. Zweite Beobachtung des Bodenobjektes.

Der zweite Halbsatz wird bei Kreis links erledigt. Als Hilfssterne werden entweder die Sterne der Ursae majoris oder die der Cassiopeiae genommen.

Die Azimutbestimmung der Stadt Machatsch-Kala wurde bei Vermessungen nach 4 Hilfssternen  $(\xi, \beta, \gamma, \eta)$  mit einem vollen Satze auf jeden Stern durchgeführt, da ein solches Verfahren für Beobachtungen am günstigsten erscheint. Den Polarstern beobachtet man zweimal während des Halbsatzes, nämlich in Momenten, die gleich weit vom Beobachtungsmomente des Nebensterns abstehen, was die Möglichkeit gibt, die auf den Nebenstern gemessene Richtung auf das Beobachtungsmoment des Polarsterns nicht reduzieren zu müssen. Beim Visieren muß der Vertikalfaden des Fernrohres auf die Sterne genau eingestellt werden. Das Einstellen des Polarsterns war mit besonderer Sorgfalt ausgeführt. Bei Beobachtung des Bodenobjektes änderte sich die für die Sternbeobachtung genommene Fokunierung des Fernrohres nicht.

Das Beobachtungs- und Feldmaterial ist in der Tabelle (1) enthalten.

(Siehe Tabelle 1.)

In den Tabellen 2, 3, 4 und 5 werden ausführliche Berechnungen für 4 Sterne gegeben.

(Siehe Tabellen 2, 3, 4 und 5.)

Die Bearbeitung der Beobachtungen besteht in der Berechnung der Mittelwerte aus Ablesungen und aus Wertbestimmungen des Winkels zwischen den Richtungen des Polarsterns und eines Nebensternes für einen jeden Halbsatz. Bei einer über 3 Minuten großen Unsymmetrie der Beobachtungszeiten wird die für die Ablesung des Nebensterns benötigte Verbesserung aus der Formel

$$(\Delta a)' = \frac{15 \cdot \cos \delta_A \cdot \cos q \cdot \sin q}{\cos \varphi \cdot \sin t_A} (T_R - T_L)$$

erhalten, wo  $T_L$  — die Beobachtungszeit des Nebensterns  $T_R$  — das mittlere Moment der Beobachtung der Polaris im entsprechenden halben Satze bedeuten. Die erforderlichen Daten:  $\varphi$ ,  $\alpha$ ,  $\delta$ ,  $\alpha A$ ,  $\delta A$  werden ebenfalls in das Formular eingetragen. Der Breitenwert wird aus der Karte bis auf 4—5 Minuten genau und die Koordinaten der Sterne aus dem Jahrbuch bis auf eine Zeitminute genau entnommen.

Das Azimut wird folgenderweise berechnet:

- 1. In erster Näherung wird das Azimut des Polarsterns gleich 1° genommen. Für das Azimut des Nebensterns wird somit der Wert  $A_0 = Q + 1^\circ$  erhalten.
- 2. Unter Berücksichtigung, daß bei einem bestimmten Nebenstern die Werte  $\varphi$  und  $\delta$  auf einer bestimmten Station konstant sind, werden die in den Formeln (2) und (3) enthaltenen Werte k und  $k_1$  berechnet.
- 3. Es wird der parallaktische Winkel q berechnet.
- 4. Es wird der Stundenwinkel (tA) des Nebensterns berechnet.
- 5. Mit Hilfe des Stundenwinkels und der Rektaszension des Nebensterns wird die Sternzeit (θ) und darauf der Stundenwinkel (t) des Polarsterns berechnet.
- 6. Berechnung  $\xi = 90^{\circ} \varphi \Delta' \cos t$
- 7. Berechnung des Azimuts des Polarsterns tg  $a_0 = -\frac{\Delta' \sin l' \sin t}{\sin \xi}$
- 8. Mit dem Werte  $a_0$  wird in derselben Reihenfolge die zweite Näherung des Azimuts des Polarsterns berechnet; dieser Wert wird als endgültig beibehalten.

Darauf wird für jeden halben Satz die der Nordrichtung entsprechende Ablesung N des Horizontalkreises berechnet.

$$N_R = R - a_r$$

$$N_L = (L \pm 180) - a_l$$

wo R und L die mittlere Ablesung des Horizontalkreises bei Beobachtung des Polarsterns,  $a_r$  und  $a_l$  die berechneten Azimute des Polarsterns bei Kreis rechts und Kreis links bedeuten.

## Tabelle 1 $\varepsilon$ (Ursae majoris).

Präzisions-Theodolit H. Wild Nr. 120 Grundlinie: lg b = 3.4013771.

## Kreis links

### Kreis rechts

Punkt	Ablesung	3	Winkelgröße	Endgültiger Winkelwert	Zeit	Ablesung	100 101	Winkelgröße	Endgültiger Winkelwert	Zeit
Erdgegenstand	0°00′42″.64 42.60		292º04′10″.16	292º03′47″:67		180°00′40″.89 40-94	180°01′21″.83	292001′21″.53	292º01'41".79	
Polaris	67º56′37″.49 37.59	67057′15″.08	314036′27″.33	314º36′00″.22	8h 00m	248°00′00″.18 00.12	248º00′00″.30	315937′49″.19	315°38′05″.00	8h 21m
Hilfsstern	22°32′51″.17 51.24		314035′33″.10	50 50 ti	8h 03m	203°36′54″.77 54.72	203037'49".49	315°38′20″.80		8h 18m
Polaris	67°58′04″.70 04.61	67°58′09″.31	292003′25″.18	0 0 0 0 0 0 0 0 0 0 0 0 0 0 0 0 0 0 0	8h 06m	247º58'44".40 44.29	247°59′28″.69	292002'02".05	2	8h 15m
Erdgegenstand	0°00′47″.20 47.29	3		755 N		180°00′45″.41 45.33	180°01′30″.74	9		
			Tabelle 1	(Fortsetzui	ng)γ	(Ursae ma	joris).	er u		
Erdgegenstand	60°00′42″.63 42.74	60°01′25″.37	291°58′56″.51	291°59′01″.28		240°00′41″.00 40.90	240°01′21″.90	291º58′40″.77	291°58′49″.63	J.
Polaris	128°02′14″.37 14.49	128002′28″.86	323°24′55″.28	323°24′49″.64	9h 01m	308°02′20″.56 20.57		324027′38″.21	324º27′44″.10	9h 15m
Hilfsstern	91°26′42″.03 42.11	91º27′24″.14	323°24′43″.99	N B	9h 03m	272°30′09″.64 09.70	272°30′19″.34	324°27′49″.99	D	9h 13m
Polaris	128 <sup>0</sup> 82′20″.10 20.05	128º02'40".15	291°59′06″.05	in a second	9h 05m	308°02′14″.71 14.64	308°02′29″.35	291°58′58″.49	3	9h 11m
<b>Erdgegenstand</b>	60°00′53″.13 53.07	60°01′46″.20				240°00′43″.99 43.85	240°01′27″.84	ar a		

Tabelle 1 (Fortsetzung)  $\eta$  Ursae majoris.

Kreis links

Kreis rechts

			INICIO IIIINO				IXI	iviers recires		
Punkt	Ablesung		Winkelgröße	Endgültiger Winkelwert	Zeit	Ablesung		Winkelgröße	Endgültiger Winkelwert	Zeit
Erdgegenstand	30°00′48″.76 48.70		30°01′37″.46 292°00′55″.60 292°00′41″.40	292000'41".40	ā	210°00′42″.10°42″.10°42.10°	$210^{9}00'42''.10$ $210^{9}01'24''.28$ $291^{9}59'44''.57$ $291^{9}59'53''.04$ $42.10$	291059′44″.57	2910597537.04	42
Pelaris	98°00′20″.90		30509/37".09	98°00′41″.86 305°09′37″.09 305°09′25″.97 8h 33m 278°00′49″.88 278°01′39″.71 305°45′35″.33 305°45′41″.32 8h 46m	8h 33m	278°00′49″.88 49.83	278001′39″.71	305°45′35″.33	305045′41″.32	8h 46m
Hilfsstern	43°10′09″.55		43º10'18".95 305º09'14".85	8	8ћ 35т	223°46′37″.55	8h 35m 223°46′37″.55 223°47′15″.04 305°45′47″.31 37.49	305°45′47″.31		8h 44m
Polaris	98°00′32″.05 32.05		98°01′04″.10 292°00′27″.19		8h 37m	278000'43".90	8h 37m 278000'43".90 278001'27".73 292000'03".12 43.83	292°00′03″.12	93	8h 42m
Brdgegenstand	30°00′45″.70 45.59	30°01′31″.29		- Day 2		210°00′45″.45 210°01′30″.85 45.40	210°01′30″.85	×1		
	·			-						
		20	Tabelle 1	(Fortsetzui	ng)α	(Fortsetzung) α Ursae majoris.	oris.			,
Erdgegenstand	90°00′46″.40		90°01 32".71 291°58′52".89 291°59′04".37	291059'04".37		270000'41".30	270°00′41″.30 270°01′22″.71 292°00′06″.79 291°59′53″.57 41.41	292000'06".79	291059'53".57	
Polaris	158°02′19″.88 19.94	15802'39".82	337º11′46″.50	158002'19".88 15802'39".82 337011'46".50 337011'57".87 9h 27m 338000'38".00 338001'15".92 338024'48".57 338025'10".58 9h 42m 37.92	9h 27m	338°00′38″.00 37.92	33801′15″.92	338024'48".57	338025′10″.58	9h 42m
Hilfsstern	135°14′13″.13 13.19	$135^{0}14'13''.13$ $135^{0}14'26''.32$ $337^{0}12'09''.23$ $13.19$	337012'09".23	2000	9h 29m	316°26′02″.30 02.19	9h 29m 316º26'02".30 316º26'04".49 338º25'32".58 02.19	338º25′32″.58	200	9h 40m
Polaris	158°02′08″.49 08.60	158°02′08″.49 158°02′17″.09 291°59′15″.86 08.60	291059′15″.86	* 0	9h 31m	338°00′45″.97 45.94	9h 31m 338°00′45″.97 338°01′31″.91 291°59′40″.36 45.94	291°59′40″.36	8	9h 38m
Erdgegenstand	90°00′46″.43 46.52	90°01′32″.95		=		270°00′36″.10 270°01′12″.27 36.17	270001'12".27	2	• ,	
	esi Ni				R			325.5		

Tabelle 2 (& Ursae majoris).

	Kreis	links	Kreis	127
8	1. Annäherung	2. Annäherung	rechts	
$Q \atop a$	314º36′ 1º27′	314º36′ 1º23′	315°38′ 1°23′	$\varphi = 42^{\circ}59'$
A	316° 3′	315059'	3170 1'	$a = 24^{\circ}24'$ $\delta = +88^{\circ}56'$
lg K lg sin A	0.12046 9.84138 <sub>n</sub>	0.12046 9.84190 <sub>n</sub>	0.12046 9.83365 <sub>n</sub>	$\Delta A = 192^{\circ}44'$ $\epsilon$ Ursae $\delta_A = +56^{\circ}20'$ majoris $\Delta' = 64'$
$\lg \sin q$	9.96184n	9.96236n	9.95411n	2 - 01
$ \begin{array}{c} q \\ A+q \\ ^{1}/_{2} (A+q) \end{array} $	293°40′ 609°43′ 304°52′	293°31′ 609°30′ 304°45′	295°53′ 612°54′ 306°27′	$\begin{array}{c ccccccccccccccccccccccccccccccccccc$
$\lg K_1$	9.88507	9.88507	9.88507	-5K   0.12010
$\lg  \lg  \frac{A+q}{2}$	0.15693 <sub>n</sub>	0.15881 <sub>n</sub>	0.13158 <sub>n</sub>	$\frac{1}{2} \frac{1}{2} \frac{(\delta_A + \varphi)}{(\delta_A - \varphi)} \frac{49^0 40'}{6^0 40'}$
$\lg~{\rm ctg}~\frac{t_A}{2}$	0.04200	0.04388	0.01665	a a a
$\frac{t_A}{2}$	42014'	420 7'	43054	$\begin{vmatrix} \lg \sin^{1}/_{2} (\delta_{A} + \varphi) & 9.88212 \\ c \lg \cos^{1}/_{2} (\delta_{A} - \varphi) & 0.00295 \end{vmatrix}$
$egin{array}{c} t_A \ a_A \end{array}$	84°28′ 192°44′	84°14′ 192°44′	87º48′ 192º44′	lg K <sub>1</sub> 9.88507
$\theta$	277012'	276058	280°32′	B <sub>1</sub>
a	24024'	24024	24024	
t	252048′	252034'	256° 8′	
$\lg \Delta' \cos t$	1.27704n	$1.28272_n$	1.18578 <sub>n</sub>	₹/)
$\log \cos t$	9.47086n	9.47654n	9.37960	
$\lg \varDelta'$ $\lg \sin t$	$1.80618$ $9.98013_n$	$1.80618$ $9.97958_n$	1.80618 9.98715 <sub>n</sub>	
$\lg \sin l'$	6.46373	6.46373	6.46373	
$\lg \Delta' \sin t \sin l'$	8.25004n	8.24949n	8.25706n	
ο lg sin ξ	0.13353	0.13353	0.13400	
lg tg a	8.38357	8.38302	8.39106	
99—φ	470 1'	470 1'	470 1'	
$\Delta' \cos t$	<u>—19′</u>	<u>—19′</u>	<u>—15′</u>	
ξ	47°20′	47°20′	47016'	
$oldsymbol{a}$	1023′	1023′.0	1024′.6	
$R_1 L \pm 180^0$	*	67057′.7	67°59′.4	
$N_{R_1}$ L		66º34′.7	66°34′.8	, ,
$M_{R_1} M_L \pm 180^{\circ}$		0° 1′.5	001'.4	ē
$S_{R_1}$ L		293°26′.8	293026′.6	
		S = 293	3026′.7	~ -

Tabelle 3 (y Ursae majoris).

* 22	Kreis	links	Kreis	e to Maria						
	1. Annäherung	2. Annäherung	rechts	x ,						
Q = a	323°25′ 1°0′	323°25′ 1°27′	324°28′ 1°27′	$\varphi = 42^{0}59'$						
A	324025′	324052′	325055′	$   \begin{array}{rcl}     a &=& 24^{\circ}24' \\     \delta &=& +88^{\circ}56'   \end{array} $						
$\lg K \ \lg \sin A$	$0.09590 \\ 9.76484_n$	$0.09590 \\ 9.76003_n$	$0.09590 \\ 9.74850_n$	$a_A = 177^032'$ $\gamma$ Ursae $\delta_A = +54^05'$ majoris $\Delta' = 64'$						
$\lg \sin q$	$9.86074_n$	$9.85593_n$	$9.84440_n$	2 - 04						
$egin{array}{c} q \ A+q \ ^{1}/_{2} \ (A+q) \end{array}$	313°28′ 637°53′ 318°56′	314° 8′ 639° 0′ 319°30′	315°40′ 641°35′ 320°48′	$egin{array}{c c} \log & \varphi & 9.86425 \\ \hline c \log & \delta_A & 0.23165 \\ \hline \log_K & 0.09590 \\ \hline \end{array}$						
$\lg K_1$	9.87672	9.87672	9.87672							
	$9.94018_n$	$9.93150_n$	$9.91147_n$	$^{1}/_{2} \left(\delta_{A} + \varphi\right) \left(\begin{array}{c c} 48^{0}32' \\ 5^{0}33' \end{array}\right)$						
$\lg  \operatorname{ctg}  rac{t_A}{2}$	9.81690	9.80822	$9.78819_n$							
$rac{t_A}{2}$	56044′	57º16′	58º27′	$\begin{vmatrix} \lg \sin^{1}/_{2} (\delta_{A} + \varphi) & 9.87468 \\ c \lg \cos^{1}/_{2} (\delta_{A} - \varphi) & 0.00204 \end{vmatrix}$						
$egin{array}{c} t_A \ \mathbf{a}_A \end{array}$	113°28′ 177°32′	$114^{0}32'$ $177^{0}32'$	116°54′ 177°32′	$\frac{\log \kappa_1}{\log \kappa_1} = \frac{9.87672}{9.87672}$						
$\Theta$	2910 0'	2920 4'	294026							
a	24024	24024	24024'							
t	266°36′	267040′	270° 2′							
$\lg \Delta' \cos t$	$9.57928_n$	$0.41591_n$	8.57094	. 8						
$\log \cos t$	$8.77310_n$	$8.60973_n$	6.76476							
$\lg  {\it \Delta}' \ \lg  \sin  t$	1.80618	1.80618	1.80618							
$\lim_{l \to 0} \frac{l}{l}$	$9.99923_n$ $6.46373$	$9.99964_n$ $6.46373$	$0.00000_n$ $6.46373$							
$\frac{\lg \Delta' \sin t \sin l'}{\lg \Delta' \sin t \sin l'}$	$8.26914_n$	$\frac{0.40515}{8.26955n}$	$\frac{0.40910}{8.26991_n}$							
$c \lg \sin \xi$	0.20514n $0.13528$	0.20555n $0.13540$	0.20551n $0.13575$	* ** *** *** *** *** *** *** *** *** *						
lg tg a	8.40442	8.40495	8.40566							
$90-\varphi$ $\Delta' \cos t$	47º 1' — 4'	47° 1′ — 3′	47° 1′ 0′	e e						
ξ	470 5'	470 4'	470 1'							
a	1027′	1º27′.3	1º27′.5							
$R_1 L \pm 180^{\circ}$		12802′.6	12802′.6							
$N_{R_1}$ $L$	r'j,	126035′.3	126035′.1	*, t,						
$M_{R_1} M_L \pm 180^{\circ}$		60°1′.6	6001'.4	a sociale e s						
$S_{R_1}$ L		293°26′.3	293°26′.3	· , , , , , , , , , , , , , , , , , , ,						
		$S = 293^{\circ}26'.3$								

Tabelle 4 ( $\eta$  Ursae majoris).

	Kreis links		Kreis						
9 90	1. Annäherung	2. Annäherung	rechts	e de la companya de l					
Q	3050 9'	3050 9'	305046						
a	1027	1026	1026	$\varphi = 42^{\circ}59'$					
A	306036′	306°35′	307012'	$a = 24^{\circ}24'$ $\delta = +88^{\circ}56'$					
lg K	0.05156	0.05156	0.05156	$a_A = 206^{\circ}12' \mid \eta \text{ Ursae}$					
$\lg \sin A$	$9.90462_n$	$9.90471_n$	$9.90120_n$	$\begin{cases} \delta_A = +49^0 29' \end{cases} \text{ major is } \\ \Delta' = 64' \end{cases}$					
lg sin q	$9.95618_n$	$9.95627_n$	$9.95276_n$	$\Delta = 04$					
q	295018′	295017'	296014	$\log \cos \varphi$   9.86425					
A+q	601054	601°52′	603026	$\begin{array}{c c} \log \cos \varphi & 3.00425 \\ c \log \cos \delta_A & 0.18731 \end{array}$					
$^{1}/_{2} (A + q)$	300°57′	300056′	301043	$\begin{array}{c c} \hline & \lg_K & \hline \\ \hline & 0.05156 \\ \hline \end{array}$					
$\lg K_1$	9.85934	9.85934	9.85934	* 1 × 1					
	$0.22209_n$	$0.22237_n$	$0.20900_n$	$\begin{vmatrix} 1/_{2} (\delta_{A} + \varphi) &   46^{0}14' \\ 1/_{2} (\delta_{L} - \varphi) &   3^{0}15' \end{vmatrix}$					
$\lg \operatorname{etg} \frac{t_A}{2}$	0.08143	0.08171	0.06834						
$\frac{t_A}{2}$	39º40′	39º38′	40º31′	$\lg \sin \frac{1}{2} (\delta_A + \varphi) \mid 9.85864$					
$t_A$	79020′	79016′	810 2'	$\frac{c \lg \cos^{1}/_{2}(\delta_{A}-\varphi)}{1} = \frac{0.00070}{0.00070}$					
a.A	206012	206012	206012	$\lg K_1    9.85934  $					
θ	285°32′	285°28′	287014	* - 9 ax					
a	24024	24024	24024	s					
t	2610 8'	261° 4′	262050′	9.					
$\lg \Delta' \cos t$	$0.99408_n$	$0.99731_n$	$0.90224_n$						
$\log \cos t$	$9.18790_n$	$9.19113_n$	$9.09606_n$						
lg ⊿′	1.80618	1.80618	1.80618						
	$9.99478_n$	$9.99470_n$	9.99659n						
$\frac{\lg \sin l'}{1 + 4' + \cdots + 4'}$	6.46373	6.46373	6.46373						
	8.26469n	8.26461n	$8.26650_n$						
$\begin{array}{c c} c & \text{lg sin } \xi \\ \hline & \text{lg tg } a \end{array}$	0.13458 8.39927	$\frac{0.13458}{8.39919}$	$\frac{0.13482}{8.40132}$						
ig ug u	0.00021	0.05515	0.40102						
$90-\varphi$	470 1'	470 1'	470 1'						
$\Delta \cos t$	<u>-10′</u>	<u>- 10′</u>	<del>- 8'</del>						
Ę	47011′	47011′	470 9'						
а	1026′	1º26′.2	1026′.6						
$R_1~L\pm 180^{o}$	200	9800′.9	9801″6	e e e					
$N_{R_1}L$	9	96º34′.7	96º35′.0	s s , =					
$M_{R_1}$ $M_L \pm 180^{\circ}$	'± 1	30°1′.6	30º1′.5	10 3 <sup>2</sup> 2 0 14 1 1					
$S_{R_1}$ L	9 2	293026′.9	293026′.5	w g					
×	$S = 293^{\circ}26'.7.$								

Tabelle 5 (a Ursae majoris).

	V-ci-	links	T	
			Kreis	
	1. Annäherung	2. Annäherung	rechts	
Q	337012	s•	380°25′	2
a	1027′	*	1027′	$\varphi = 42^{0}49'$
A	338039'		339052'	$a = 24^{\circ}24'$
l., V	0.10455	•	0.40455	$\delta = +88^{\circ}56'$ $\alpha_{\mathcal{A}} = 164^{\circ}52'  \alpha \text{ Ursae}$
$\lg K$ $\lg \sin A$	0.19455 9.56118 <sub>n</sub>		0.19455 $9.53682n$	$\delta_A = +62^{\circ} 8'$ majoris
$\frac{1g \sin q}{\lg \sin q}$	9.75573		$9.73137_n$	$\Delta' = 64'$
-8 1	01.0010#			
q	325016′	an and an	327024	$\log \cos \varphi \mid 9.86425$
A+q	663°55′ 331°58′	E E	667°16′ 333°38′	c lg cos $\delta_A$ 0.33030
$^{1}/_{2} (A + q)$	991.90		999,90	lgK 0.19455
$\lg K_1$	9.90593		9.90593	2 FD 8
$\lg \lg \frac{A+q}{2}$	9.72628n	10	$9.69520_n$	$^{1}/_{2}(\delta_{A}+\varphi)$   52°34′
~6 °6 2	0.120201			$1/2 (\delta A - \varphi)$ $9^{\circ}34'$
$\lg \operatorname{etg} \frac{t_A}{2}$	9.63221		9.60113	-
-	3.00221	M.	2.00110	N an an
$rac{t_A}{2}$	66049′		68014'	$ \log \sin \frac{1}{2} (\delta_A + \varphi)  9.89985$
$t_A$	133038′		1360287	$c \lg \cos^{1}/_{2} (\delta_{A} - \varphi) = 0.00608$
aA	164052		164052	$\lg K_1 = 9.90593$
Θ	298030		301°20′	
a	24024		24024	* .
t	2740 6'		276°56′	
$\lg \Delta' \cos t$	0.66047	2	9.88794	(S)
lg cos t	8.85429	H =	9.08176	
lg ⊿′	1.80618		1.80618	*
$\lg \sin t$	$9.99889_n$		$9.99681_n$	
$\frac{\lg \sin l_1}{l_1}$	6.46373		6.46373	
	8.26880n		8.26672 <sub>n</sub>	
c lg sin ξ	0.13634	231	0.13670	
lg tg a	8.40514		8.40342	
$90-\varphi$	470 1'		470 1'	
$\Delta' \cos t$	+5'		+8'	*
ξ	46056′		46053′	
a	1º27′.1		1927′.0	3
* <b>U</b> *	1.21.1		1-27 .0	- 2
$R_1 A \pm 180^{\circ}$	15802'.5		15801'.4	
Nn r	156º35′.1	4,	15000474	5
$N_{R_1}$ L	1. 66,061		156034'.4	8
$M_{R_1}~M_L \pm 180^{\circ}$	90º1′.5		9001′.3	es :
$S_{R_1}$ L	293026′.4		293025′.9	
,		S = 293	<sup>0</sup> 26′.2.	*

Das Azimut S des Bodenobjektes wird nach der Formel:

$$S_R = M_R - N_R$$
  
 $S_L = (M_L \pm 180) - N_L$ 

mit  $M_R$  und  $N_L$  als Kreisablesungen für Beobachtung des Bodenobjektes bei Kreis rechts und Kreis links berechnet.

Die Azimute des Bodenobjektes werden für jeden halben Satz berechnet. Zur Ausschaltung des aus der Differenz der Zenitdistanzen des Bodenobjektes des Polarsterns und des Nebensterns hervorgehenden Einflusses der Kollimation und der Kippachsenneigung werden die Mittelwerte aus den verschiedenen Halbsätzen genommen. (Siehe Tabelle 6.)

	F		enamenta (AZONA)—AT	
Sätze	Azimute	δ	88	200 g
1	293º26′.7	+0.22	0.0484	1/0.2076
2	26′.3	-0.18	0.0324	$m = \pm \sqrt{\frac{6.2070}{4-1}} = \pm 0'.26$
3	26′.7	+0.22	0.0484	
4	26′.2	-0.28	0.0784	$M = \pm 0'.13$
Mittel	293026′.48	-0.02	0.2076	

Tabelle 6.

Statt der Berechnungen kann man sich der Tabellen bedienen, die nach den Argumenten des Horizontalwinkels zwischen dem Polarstern und dem Nebenstern für Breitenzonen von 40°—60° zusammengestellt sind.

Bei Gebrauch der Tabellen muß man kennen:

- 1. den Horizontalwinkel zwischen Polarstern und Nebenstern:
- 2. den Ort des Nebensterns (rechts oder links vom Polarstern).

Dem entsprechend wird jeder Stern zwei Tabellen haben.

Zur Vereinfachung der Aufgabe könnte der Inhalt der Rechentabelle durch ein Nomogramm dargestellt werden.

Als Unterlage für jedes Nomogramm dient ein Kreissektor, welcher durch Radienstrahlen in kleine Sektoren von je 1° zerteilt wird. Der große Sektor hat einen Winkel von 60° gemäß dem größten praktisch vorkommenden Wert des Winkels zwischen Polarstern und Nebenstern. Die Länge des Radius eines jeden Bogens drückt die Zahl der Minuten des Azimutes des Polarsterns aus. Die Zahlwerte dieser Azimute sind rechts und links angeschrieben. Auf dieser Grundlage sind Kurven des Azimutes des Polarsterns für  $\varphi=40^\circ$  go  $\varphi=60^\circ$  von  $4^\circ$  zu  $4^\circ$  eingezeichnet. Das Nomogramm zeigt sich als sehr vorteilhaft bei Berechnung der Azimute mit großen Horizontalwinkelwerten. Die genäherte Bestimmung des Azimutes nach Prof. Th. N. Krassovsky ergibt dessen Wert nur bis auf 0'.1 genau. Daher erweist es sich als vorteilhaft, bei Gebrauch der Wildschen Instrumente die Ablesungen

nur mit Schätzung auszuführen. Wir haben zu berücksichtigen, daß die Beobachter mit diesen Instrumenten zum ersten Male volle Ablesungen nach dem optischen Mikrometer machten. Sonst werden die Berechnungen und Messungen nur auf 1' genau ausgeführt.

Bei dem Wildschen Theodolit mit einem auf dem Okular aufgesetzten Prisma wird ein umgekehrtes Bild der Kreisbezisserung und der Sekundenteilung erhalten, was nicht gerade bequem ist und bei wenig Erfahrung zu sehlerhaften Ablesungen führt. In letzter Zeit ist auf meine Anweisung hin von der Firma Wild ein Okularprisma konstruiert worden, welches direkte Bilder der Kreisteilung und der Skala ergibt. Dieses Prisma wurde mir für meine Arbeiten von Wild liebenswürdig zur Verfügung gestellt; ich habe damit Azimutbestimmungen nach Prof. Krassovsky gemacht, wobei die Ablesungen mit Schätzung ohne optisches Trommelmikrometer erledigt wurden. Außerdem wurde dasselbe Azimut mit demselben Instrument nach dem Polarstern ermittelt und die Breite nach zwei Sternen in entsprechenden Höhen (Verfahren von Pevzoss).

Zur Charakteristik der Ergebnisse werden nur die endgültigen Werte und deren mittlere Fehler mitgeteilt.

Wert des Azimuts nach der vorliegenden Methode von Prof. Krassovsky — 161° 02′, 2 ± 0′08 (annäherndes Verfahren).

Wert des Azimuts nach entsprechenden Höhen  $161^{\circ}$  2′ 24'',45  $\pm$  0″.25 (genaue Ermittlung durch gewöhnliches astronomisches Verfahren).

Wert des Azimuts ermittelt mit gewöhnlichen astronomischen Instrumenten — 2" genau: 161° 02' 24".79.

Bei den astronomischen Arbeiten ist ein Fehlen eines Sucherkreises bei dem Instrument zu berücksichtigen; der Höhenwinkel wird als Differenz der Ablesung in beiden Kreislagen, — nicht aber als halbe Differenz erhalten. Zuerst wurde der Fehler des Zenitorts ( $\Delta Z$ ) durch entsprechende Ablesungen  $a_1$  und  $a_2$  mit  $K_L$  und  $K_R$  bestimmt. Die Ablesungen  $a_2$  und  $a_1$  entsprechend a wären

$$a_2 = \frac{\alpha + 180^{\circ}}{2}$$
 $a_1 = \frac{180 - \alpha}{2}$ 

da aber  $z = 90^{\circ} - a$ , so wird

$$a_2 = \frac{270^{\circ} - z}{2}$$
 Kreis links  $a_1 = \frac{90^{\circ} + z}{2}$  Kreis rechts.

und

Die Näherungswerte von  $a_2$  und  $a_1$  wurden aus präliminären Berechnungen der Zenitdistanzen bestimmt. Bei Beobachtung der Sterne wird zuerst die Libelle durch eine Trommeleinstellung des Mikrometers zum Einspielen gebracht (bis auf eine Bogensekunde). Sodann wird das Fernrohr auf entsprechende Gradablesung (genähert) ein-

gestellt und die Kreisstriche werden mittels der Feinschraube zur Koinzidenz gebracht.

Schluß.

Dank bequemer und genauer Arbeitsweise der Wildschen Instrumente sind letztere mit Erfolg bei astronomischen Bestimmungen auf Staat- und Stadttriangulationen zu gebrauchen, besonders bei Verwendung eines Zenitprismas neuester Konstruktion.

6. August 1931.

## Fédération Internationale des Géomètres (F. I. G.). Séance du Comité permanent (C. P.)

Vendredi et samedi, 17 et 18 juillet à Genève (Salle des conférences du Département de l'Instruction publique, Hôtel de Ville).

(Fin.)

Commission II. (Texte français des décisions, voir pages 213 et

214 du compte rendu.)

Les chiffres 1 à 3 et 5 à 9 ont le caractère d'information, il en est de même du chiffre 4 dont l'étude suppose que les tolérances en usage dans les différents pays soient préalablement connues. Le Secrétaire général est prié de demander aux différentes associations nationales ou gouvernements représentés au congrès de Zurich de bien vouloir lui adresser les prescriptions relatives aux tolérances actuellement en usage et de faire la même demande à l'Union pour géodésie et géophysique.

Chiffre 10. M. Danger (France) recommande au Comité Permanent de veiller à la réalisation de ce vœu et rappelle en même temps que M. Kubler (Suisse) a déjà édité en 1921 une brochure s'occupant de cette question. Le Secrétaire général se mettra en rapport avec l'Association internationale des sports athlétiques.

Commission III a. M. le Dr. L. Hegg (Suisse) rapporte:

Chiffres 1 à 4, les propositions de la Commission III a ont le carac-

tère d'information et ne nécessitent pas de prise de décision.

Le chiffre 4 est à étudier conjointement avec les propositions de la Commission IV. La proposition contenue au chiffre 5 de la création d'un organisme d'information et d'orientation scientifique du cadastre a cependant une importance considérable. M. le Dr. Hegg renvoie aux discussions de la Commission III a et en outre à son mémoire du 18 juin 1931 au Comité Permanent.

Après une discussion approfondie à laquelle prirent part MM. Fanti (Italie), Jarre (France), Roupcinsky (Belgique), Danger (France), Delessert (Suisse), Président Bertschmann (Suisse) et le Secrétaire général, la désignation d'une Commission d'enquête proposée par M. Fanti est décidée. Celle-ci doit être formée des représentants des Associations nationales de France, Italie, Pologne, Belgique, Tschécoslovaquie et Suisse. Cette Commission d'enquête aura s'occuper des tâches suivantes:

a) Rassemblement, classement et examen des matériaux nécessaires à l'étude de ces questions.

b) Prise de contact avec l'Institut international de Coopération intellectuelle à Paris.

c) Etude et élaboration d'un programme de travail.

Cette Commission d'enquête doit préparer un projet à soumettre au Comité Permanent avant sa séance de Varsovie pour la suite à donner à la proposition de la Commission III a, afin que le Comité Per-